

Partie I Caractéristiques d'un écoulement.

IA Ordres de grandeur

IA1

$V = \frac{\eta}{\mu}$ donc en $\frac{\text{Pa} \cdot \text{s} \cdot \text{m}^3}{\text{kg}}$, soit en $\frac{\text{m}}{\text{s}^2 \cdot \text{m}^2} \cdot \text{m}^3$

V est en $\text{m}^2 \cdot \text{s}^{-1}$

A.N. $V_{\text{eau}} \approx 10^{-6} \text{m}^2 \cdot \text{s}^{-1}$ $V_{\text{air}} \approx 10^{-5} \text{m}^2 \cdot \text{s}^{-1}$

$\mu \nabla \vec{v} = \eta \nabla^2 \vec{v} = \vec{\tau}$ visco

IA2 $R = \frac{U D}{\nu} = \frac{\mu U D}{\eta}$ = nombre de Reynolds

Il est sans dimension. Il permet de savoir si un écoulement est susceptible d'être turbulent.

IA3 $\chi = -\frac{1}{V} \frac{\partial V}{\partial P} \Rightarrow \chi$ en Pa^{-1}

$\chi_{\text{eau}} \approx 10^{-9}$ à 10^{-10}Pa^{-1} $\chi_{\text{gaz}} \approx 10^{-5} \text{Pa}^{-1}$

Gaz parfait isentropique } $\Rightarrow P V^\gamma = c^t \Rightarrow \frac{dP}{P} + \gamma \frac{dV}{V} = 0$

$\Rightarrow \chi_s = \frac{1}{\gamma P}$ $\chi_{\text{gaz}} \gg \chi_{\text{liq}}$

$M = U \sqrt{\mu \chi} = \frac{U}{C_{son}}$ = nombre de Mach.

c'est un coefficient sans dimension qui permet de savoir si un écoulement est sub, trans. ou supersonique.

IA4

a) $[f] = \text{m}^{2\alpha} \cdot \text{s}^{-\alpha} \cdot \text{kg}^\beta \cdot \text{m}^{-3\beta} \cdot \text{m}^\gamma \cdot \text{s}^{-\gamma} \cdot \text{Pa}^{-\epsilon} \cdot \text{m}^\delta \cdot \text{s}^{2\epsilon}$

$\Rightarrow \begin{cases} 2\alpha - 3\beta + \gamma + \delta + \epsilon = 0 \\ -\alpha - \gamma + 2\epsilon = 0 \\ \beta - \epsilon = 0 \end{cases}$

b) $\alpha=1, \beta=0 \Rightarrow \epsilon=0, \gamma=-1, \delta=-1$ $f = \frac{1}{R}$

$\alpha=0, \beta=1 \Rightarrow \epsilon=1, \gamma=2, \delta=0$ $f = M^2$

IB

IB1 a) $\mu \left(\frac{\partial \vec{v}}{\partial t} + (\vec{v} \cdot \text{grad}_n) \vec{v} \right) = \mu \nabla \Delta \vec{v} - \text{grad} P$

b) $t_n = \frac{\tau_n}{v_n} = \frac{\eta / U}{U} \Rightarrow t_n = t \frac{U}{D}$

c) P_n est bien sans dimension!

d) $v = U v_n, t = t_n \frac{U}{D} \Rightarrow \frac{\partial \vec{v}}{\partial t} = \frac{U^2}{D} \frac{\partial \vec{v}_n}{\partial t}$
 ... d'où $\mu \frac{U}{D} \left[\frac{\partial \vec{v}_n}{\partial t} + (\vec{v}_n \cdot \text{grad}_n) \vec{v}_n \right] = \frac{\mu U^2}{D^2} \Delta \vec{v}_n - \frac{1}{D} \text{grad} P_n$

Et en multipliant par $\frac{D}{\mu U^2}$:

$\frac{\partial \vec{v}_n}{\partial t} + (\vec{v}_n \cdot \text{grad}_n) \vec{v}_n = \frac{1}{R} \Delta \vec{v}_n - \frac{1}{M^2} \text{grad}_n P_n$

I.B.2 Si on veut la même équation adimensionnée pour le mouvement de la maquette et de l'objet réel, il faut: $M = M'$ et $R = R'$

I.B3 On rajoute μg dans l'équation de Navier-Stokes; comme plus haut, on multiplie par $\frac{D}{\mu U^2}$. Le terme dû à la pesanteur est donc $\frac{D}{U^2} g$. Pour les similitudes, il faut donc que $\frac{D}{U^2} g = \frac{D'}{U'^2} g$

I.B.4

a) $F = F' \Rightarrow U' = U \sqrt{\frac{D'}{D}} = \frac{5,1}{\sqrt{20}} \Rightarrow U' = 1,14 \text{ m} \cdot \text{s}^{-1}$

cela semble faible.

b) $R = R' \Rightarrow v' = v \frac{U'}{U} \frac{D'}{D} \Rightarrow v' = 0,011 v$

Il ne va pas être facile de trouver un fluide de 100 fois moins visqueux mais avec la même masse volumique que l'eau.

c) Si $\mu = \mu', \nu = \nu'$ et $F = F'$, $R' = R \frac{U'}{U} \frac{D'}{D}$

$\Rightarrow R' = R \left(\frac{D'}{D} \right)^{3/2} = 86 \cdot 10^3$

Les risques de turbulences sont donc aussi importants avec la maquette qu'avec le navire réel.

d) $M' = M$ est impossible si on prend le même fluide et si on impose $F' = F$. Mais ce n'est pas gênant si on est en subsonique dans les deux cas ($M < 1$ et $M' < 1$), ce qui est probable pour des navires.

e) On peut prendre $P_0 = \frac{\mu U^2}{D}$ et $P_n = P/P_0$

Alors $\text{grad} P = \frac{P_0}{D} \text{grad}_n P_n = \frac{\mu U^2}{D^2} \text{grad}_n P_n$

Ainsi, après multiplication par $\frac{D}{\mu U^2}$, le terme de pression devient $-\text{grad}_n (P_n)$

IB5 a) Ce sont des ondes de gravité.

b) ω est en s^{-1} , k en m^{-1} , g en $\text{m} \cdot \text{s}^{-2}$

donc $\frac{k g}{\omega^2}$ est sans dimension $\Rightarrow \frac{k g}{\omega^2} = 1$

c) La gravité est liée au nombre de Froude. D'où $\vec{F}_{pi} = - \iint_{S_e \cup S_s} \mu (\vec{v} \cdot \vec{m}) \vec{v} ds - \iint_{S_e \cup S_s} \vec{R} \cdot dS$
 C'est donc $\boxed{F' = F}$ qui permet de transposer.

Partie II - Poussée d'un turbo-réacteur :

$$\vec{F}_{pi} = -\mu_e v_e^2 A_e \vec{u}_z + \mu_s v_s^2 A_s \vec{u}_z - \iint_{S_e \cup S_s} \vec{R} \cdot dS$$

II-A Efforts exercés par l'air intérieur :

$$\iint_{S_e \cup S_s} \vec{R} \cdot dS = P_e A_e \vec{u}_z - P_s A_s \vec{u}_z$$

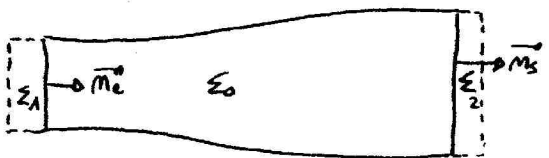
II.A.1 | A cause de la viscosité.

$$\boxed{\vec{F}_{pi} = \mu_s v_s^2 A_s - \mu_e v_e^2 A_e + P_s A_s - P_e A_e}$$

II.A.2 | Soit un système fermé Σ^* décomposé à t en $\Sigma_0 \cup \Sigma_1$ et à t+dt en $\Sigma_0 \cup \Sigma_2$. $\Sigma^*(t)$ et $\Sigma^*(t+dt)$ sont délimités par deux positions (très peu différents) d'un tube de courant.

II.A.4 |

Le champ des vitesses est quasi-uniforme en amont de l'avion. En prenant en compte les forces de pression, on a :



$$\iint_{S'} \vec{R} \cdot dS' = (P_0 A_0 - P_e A_e) \vec{u}_z - \vec{F}_{pression \rightarrow S_e}$$

De plus, on peut écrire :

$$\iint_{S'} \vec{R} \cdot dS' = - \iint_{S'} \mu (\vec{v} \cdot \vec{m}) \vec{v} \cdot dS' = [\mu_0 v_0^2 A_0 \vec{u}_z - \mu_e v_e^2 A_e \vec{u}_z]$$

Car la contribution de la paroi latérale est nulle.

Appliquons à Σ^* un bilan de quantité de mouvement :

$$\vec{p}^*(t) = \mu_e \iint_{S_e} \vec{v}_e \cdot \vec{m}_e dS_e dt \vec{v}_e + \vec{p}(\Sigma_0, t)$$

$$\vec{p}^*(t+dt) = \mu_s \iint_{S_s} \vec{v}_s \cdot \vec{m}_s dS_s dt \vec{v}_s + \vec{p}(\Sigma_0, t+dt)$$

$$\Rightarrow \frac{d\vec{p}^*}{dt} = \mu_s \iint_{S_s} \vec{v}_s \cdot \vec{m}_s dS_s \vec{v}_s - \mu_e \iint_{S_e} \vec{v}_e \cdot \vec{m}_e dS_e \vec{v}_e \quad (\text{régime stat.})$$

$$\text{Or, } \frac{d\vec{p}^*}{dt} = + \iint_{S_{in}} (-\vec{R}) \cdot dS_{in}$$

Sur la face S_e , la normale extérieure est $\vec{m} = -\vec{m}_e$, et sur S_s , $\vec{m} = +\vec{m}_s$. Il vient :

$$\iint_{S_s \cup S_e} \mu (\vec{v} \cdot \vec{m}) ds \vec{v} + \iint_{S_{in}} \vec{R} \cdot dS = 0$$

Et puisque $\vec{v} \cdot \vec{m} = 0$ sur la paroi latérale du tube de courant, $\iint_{S_s \cup S_e} \mu (\vec{v} \cdot \vec{m}) ds \vec{v} = \iint_{S_{in}} \mu (\vec{v} \cdot \vec{m}) ds \vec{v}$

D'où :

$$\boxed{P_0 A_0 - P_e A_e = \mu_e A_e v_e^2 - \mu_0 A_0 v_0^2 + \vec{F}_{pression \rightarrow S_e} \cdot \vec{u}_z}$$

$$\text{avec } \vec{F}_{pression \rightarrow S_e} = \iint_{S_e} P(-\vec{m}) \cdot dS_e$$

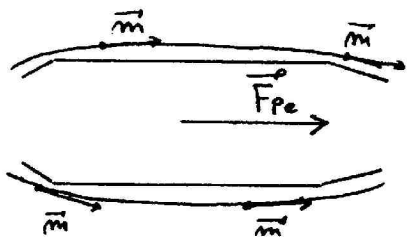
II.A.5 |

$$\vec{F}_{pi} = \mu_s v_s^2 A_s + P_s A_s - P_e A_e - [P_0 A_0 - P_e A_e + \mu_0 v_0^2 A_0 + \iint_{S_e} P \vec{m} \cdot \vec{u}_z dt]$$

Le qui donne bien la formule de l'énoncé.

II.B Efforts exercés par l'air extérieur :

II.B.1 |



II.B.2 |

La résultante des forces de pression s'exerçant sur une surface fermée est nulle si la pression est uniforme (c'est peut être une application particulière du théorème d'Archimède pour $\vec{g} = \vec{0}$)

II.A.3 | D'après la question précédente,

$$\vec{F}_{pi} = - \iint_{S_1 \cup S_2 \cup S_e \cup S_f} \mu (\vec{v} \cdot \vec{m}) \vec{v} \cdot dS - \iint_{S_e \cup S_s} \vec{R} \cdot dS$$

Et $\vec{v} \cdot \vec{m} = 0$ sur les parois du réacteur, et sur l'obstacle central.

$$\vec{F}_{Pe} = \iint_{S_3} P_0 \vec{m}' ds + \iint_{S_3} (P - P_0) \vec{m}' ds + \iint_{S_3} \rho \vec{m} ds$$

or, on a $\iint_{S_3 \cup S_t \cup S_0 \cup S_5} P_0 \vec{m}' ds = \vec{0}$, d'où :

$$\vec{F}_{Pe} = \iint_{S_3} (P - P_0) \vec{m}' ds + \iint_{S_3} \rho \vec{m} ds - \iint_{S_t} P_0 \vec{m}' ds - \iint_{S_0} P_0 \vec{m}' ds - \iint_{S_5} P_0 \vec{m}' ds$$

avec $\vec{m}' = -\vec{m}$.

$$-\iint_{S_0} P_0 \vec{m}' ds = \iint_{S_0} P_0 \vec{m} ds = P_0 A_0 \vec{u}_3^0$$

$$-\iint_{S_5} P_0 \vec{m}' ds = \iint_{S_5} P_0 \vec{m} ds = -P_0 A_5 \vec{u}_3^5$$

on retrouve bien la formule de l'énoncé.

$$\text{II C3} \quad \vec{F}_p = D_{me} |v_{se}| + D_{mi} |v_{si}| - D_m v_0$$

$$\lambda = \frac{D_{me}}{D_{mi}} \quad D_m = D_{mi} (1 + \lambda)$$

$$\vec{F}_p = \left[\frac{\lambda |v_{se}| + |v_{si}|}{1 + \lambda} - v_0 \right] D_m \vec{u}_3$$

II C Poussée totale :

II C1 Erreur de typographie : dans l'énoncé,

\vec{F}_p devrait être en gras (vecteur) :

$\vec{F}_p = \vec{F}_{pe} + \vec{F}_{pi}$ donne :

$$\vec{F}_p = (P_s - P_0 + \mu_s v_s^2) A_s \vec{u}_3^s - \mu_0 v_0^2 A_0 \vec{u}_3^0 - \iint_{S_t} (P - P_0) \vec{m} ds - \iint_{S_3} (P - P_0) \vec{m} ds + \iint_{S_3} \rho \vec{m} ds$$

$\iint_{S_t} -(P - P_0) \vec{m} ds$ est une force de traînée car

$P > P_0 \Rightarrow$ elle est selon $-\vec{u}_3^t$, donc freine le mouvement du réacteur. Elle est dite de "captation" car elle correspond au flux d'air entrant

$\iint_{S_3} -(P - P_0) \vec{m} ds$ correspond à l'air qui

freine la carène, à savoir la partie externe du réacteur.

$$\text{II C2} \quad \text{Si } P = P_0 \text{ et } f = 0, \vec{F}_p = (\mu_s v_s^2 A_s - \mu_0 v_0^2 A_0) \vec{u}_3^3$$

Il semble qu'il y ait une erreur de signe dans l'énoncé : si $\vec{v}_s = v_s \vec{u}_3^s$, alors $v_s < 0$.

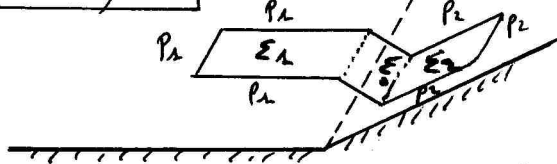
$D_m = \mu_s |v_s| A_s = \mu_0 v_0 A_0$ est le débit massique, partout (on est en régime permanent)

Partie III - Onda de choc supersoniques:

III.A

Régime stationnaire \Rightarrow pas d'accumulation de masse dans le cylindre. Donc les débits massiques sont les mêmes à l'entrée et à la sortie du cylindre: $\mu_1 u_1 S = \mu_2 u_2 S$

D'où $\mu_1 u_1 = \mu_2 u_2$ (1)



on considère le fluide (système fermé) Σ^* se décomposant à t en $\Sigma_1 U \leq 0$ et à t+dt en $\Sigma_2 U \leq 2$. Soit dm sa masse. $dm = dm_1 + dm_2 = dm_1 + dm_2$
 $\frac{dP}{dt} = \frac{dm_1(\vec{v}_2 - \vec{v}_1)}{dt}$

La relation fondamentale de la dynamique donne:

$\frac{dP}{dt} = (P_2 - P_1) S \vec{M}_{1 \rightarrow 2}$

Et $dm_1 = \mu_1 u_1 S dt = \mu_2 u_2 S dt = dm_2$

D'où $\mu_1 u_1 (\vec{v}_2 - \vec{v}_1) = (P_2 - P_1) \vec{M}_{1 \rightarrow 2}$

En projetant sur $\vec{M}_{1 \rightarrow 2}$: $\mu_1 u_1 (u_2 - u_1) = P_2 - P_1$ (2)

En projetant sur le point: dt de l'onda de choc:

$\mu_1 u_1 (w_2 - w_1) = 0 \Rightarrow w_1 = w_2$

III.B

Notons u_i l'énergie interne massique.

Le 1er principe appliqué à Σ^* donne:

$dm_1 [u_2 + \frac{1}{2} v_2^2 - u_1 - \frac{1}{2} v_1^2] = P_1 \delta V_1 - P_2 \delta V_2$

où δV_1 et δV_2 sont les volumes de Σ_1 et Σ_2

$dm_1 u_1 + P_1 \delta V_1 = dm_1 h_1$

$dm_2 u_2 + P_2 \delta V_2 = dm_2 h_2 = dm_1 h_2$

D'où $h_2 + \frac{1}{2} v_2^2 = h_1 + \frac{1}{2} v_1^2$

Modèle du gaz parfait: pour n moles,

$dH = \frac{\gamma n R}{\gamma - 1} dT$. D'où $dh = \frac{1}{m} \frac{\gamma n R}{\gamma - 1} dT$

d'où $dh = \frac{\gamma \mu}{\gamma - 1} dT$

$\Rightarrow h_2 - h_1 = \frac{\gamma \mu}{\gamma - 1} (T_2 - T_1)$

Equation d'état: $\frac{P}{\mu} = \frac{RT}{M} = \frac{RT}{\mu}$

$h_2 - h_1 = \frac{\gamma}{\gamma - 1} \left(\frac{P_2}{\mu_2} - \frac{P_1}{\mu_1} \right)$

Et $v_1^2 - v_2^2 = u_1^2 + w_1^2 - u_2^2 - w_2^2 = u_1^2 - u_2^2$

$\frac{2\gamma}{\gamma - 1} \left(\frac{P_2}{\mu_2} - \frac{P_1}{\mu_1} \right) = u_1^2 - u_2^2$ (3)

III.C

(1) } $\Rightarrow \mu_1 u_1^2 \left(\frac{\mu_2 - \mu_1}{\mu_2} \right) = P_1 - P_2$
 (2) }

D'où $u_1^2 = \frac{P_1 - P_2}{\mu_1 - \mu_2} \frac{\mu_2}{\mu_1}$ et $u_2^2 = \frac{P_1 - P_2}{\mu_1 - \mu_2} \frac{\mu_1}{\mu_2}$

(3) $\Rightarrow \frac{2\gamma}{\gamma - 1} \left(\frac{P_2}{\mu_2} - \frac{P_1}{\mu_1} \right) = \frac{1 - x}{\mu_1 - \mu_2} \frac{\mu_2^2 - \mu_1^2}{\mu_1 \mu_2}$

D'où $\frac{2\gamma}{\gamma - 1} (x \mu_1 - \mu_2) = -(1 - x)(\mu_1 + \mu_2)$

$\mu_1 \left[\frac{2\gamma x}{\gamma - 1} - x + 1 \right] = \mu_2 \left[-1 + x + \frac{2\gamma}{\gamma - 1} \right]$

$\frac{\mu_2}{\mu_1} = \frac{\frac{\gamma + 1}{\gamma - 1} x + 1}{x + \frac{\gamma + 1}{\gamma - 1}} \Rightarrow$ on a bien $\frac{\mu_2}{\mu_1} = \frac{1 + kx}{k + x}$

III.D

Pour n moles, l'entropie d'un gaz parfait est $S = \frac{nR}{\gamma - 1} \ln(T^\gamma P^{1-\gamma}) + C_1 T^{\frac{1}{\gamma}}$

D'où l'entropie molaire: $s = \frac{R}{\gamma - 1} \ln(T^\gamma P^{1-\gamma}) + C_2 T^{\frac{1}{\gamma}}$

et $T = \frac{P}{\mu n}$ donc $T^\gamma P^{1-\gamma} = C_3 \frac{P}{\mu} \mu^{-\gamma}$

D'où $s = \frac{R}{\gamma - 1} \ln(P \mu^{-\gamma}) + C_4 T^{\frac{1}{\gamma}}$

$s_2 - s_1 = \frac{R}{\gamma - 1} \left[\ln\left(\frac{P_2}{P_1}\right) - \gamma \ln\left(\frac{\mu_2}{\mu_1}\right) \right] + C_4 \left[T_2^{\frac{1}{\gamma}} - T_1^{\frac{1}{\gamma}} \right]$

NB $S = \frac{nR}{\gamma - 1} \ln(T^\gamma P^{1-\gamma}) + C_1 T^{\frac{1}{\gamma}}$ se démontre en utilisant un chemin réversible.

III.E

Appliquons le 2^e principe à Σ^* :

$dm_1 (s_2 - s_1) = \underbrace{\delta S^r}_{=0} + \underbrace{\delta S^c}_{>0}$ car irréversible.

D'où $s_2 - s_1 > 0$, donc $\ln x > \gamma \ln \frac{1+kx}{k+x}$

$\Rightarrow \ln x > \ln \left(\frac{1+kx}{k+x} \right) \Rightarrow x > \frac{1+kx}{k+x} \Rightarrow x^2 > 1$

$\Rightarrow x > 1 \Rightarrow P_2 > P_1$

(2) } $\Rightarrow \mu_2 - \mu_1 < 0 \Rightarrow \mu_1 > \mu_2$
 $P_2 > P_1$

III.F

$Ca^2 = \frac{1}{\mu_1 \kappa_{s1}}$ avec $\kappa_{s1} = \frac{1}{\gamma P_1}$ pour un gaz parfait

D'où $Ca^2 = \frac{\gamma P_1}{\mu_1}$